

Особенности динамического возбуждения слоистых сред внутренними источниками колебаний

Р.Р. Кадыров, А.А. Ляпин

Ростовский государственный строительный университет, г. Ростов-на-Дону

Задачи расчета поверхностных сооружений при динамических воздействиях внутренними источниками колебаний связаны с проблемами сейсмостойкого строительства, возведением зданий в зонах, близких к линиям метрополитена мелкого и среднего заложения. При этом основные особенности такого воздействия связаны как со спектральным составом возбуждения, так и строением неоднородного грунта. Во многих случаях грунт можно моделировать слоисто-неоднородной упругой или вязкоупругой средой.

1. Постановка задачи

Рассматривается задача возбуждения гармонических колебаний внутренним источником, заглубленным в слоисто-неоднородную полуплоскость.

Пусть область, занимаемая линейно-упругой средой представляет собой многослойную полуплоскость D (Рис. 1).

$$D = D_1 \cup D_2 \cup \dots \cup D_N$$

$$D_1 = \{x > 0; y \in (-\infty, +\infty)\} \text{- полуплоскость;}$$

$$D_j = \{x \in (-x_j, -x_{j-1}); y \in (-\infty, +\infty)\}, x_j = \sum_{i=2}^j h_i; \text{ -j-й слой (j=2, \dots, N);}$$

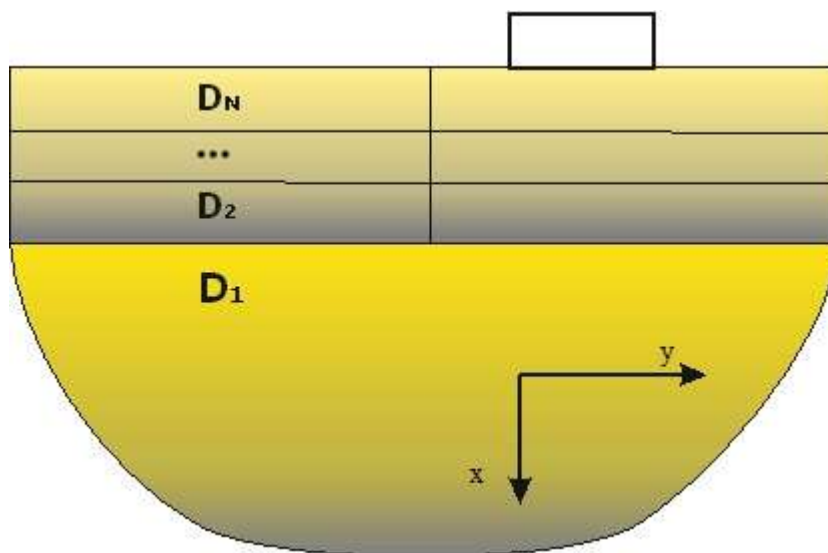


Рис. 1

Физические свойства среды описываются плотностью ρ_j и скоростями распространения поперечных и продольных волн: V_{Sj}, V_{Pj} .

Условия стыковки разнородных сред считаются жесткими с требованием непрерывности векторов перемещений и напряжений при переходе через границы раздела.

В точке с координатами $\mathbf{r}_0 = \{x_0, y_0\}$ действует сосредоточенный источник гармонических с частотой ω колебаний:

$$\mathbf{P}\delta(x - x_0)\delta(y - y_0) \cdot \exp(-i\omega t)$$

2. Построение решения

Решение поставленной задачи соответствует построению матрицы фундаментальных решений точечного источника, реализация которого осуществляется с помощью принципа суперпозиции.

В основе данного построения решения для многослойной среды лежит вывод определяющих соотношений для одного слоя с заданными на его гранях векторами напряжений.

Пусть в локальной системе координат для j -го слоя: $(x, y): x \in (0, h_j), y \in (-\infty, \infty)$ амплитудные функции перемещений при действии сосредоточенного в \mathbf{r}_0 источника имеют вид:

$$\mathbf{U}(\mathbf{r}_0, \mathbf{r}) = \left\{ U_1^{(j)}(\mathbf{r}_0, \mathbf{r}), U_2^{(j)}(\mathbf{r}_0, \mathbf{r}) \right\} = \left\{ U_x^{(j)}(\mathbf{r}_0, \mathbf{r}), U_y^{(j)}(\mathbf{r}_0, \mathbf{r}) \right\}.$$

Функции $U_k^{(j)}(\mathbf{r}_0, \mathbf{r})$ удовлетворяют уравнениям движения Ляме [1]

$$(\lambda_j + 2\mu_j) \text{graddiv } \mathbf{U} - \mu_j \text{rotrot } \mathbf{U} = -\rho_j \omega^2 \mathbf{U},$$

$$\lambda_j \text{ и } \mu_j \text{ - постоянные Ляме: } V_{Pj} = \sqrt{\frac{\lambda_j + 2\mu_j}{\rho_j}}, V_{Sj} = \sqrt{\frac{\mu_j}{\rho_j}}.$$

Согласно предлагаемому методу данные функции будем разыскивать в виде

$$U_k^{(j)} = U_k^{(j,1)} + U_k^{(j,2)} + U_k^{(j,3)}.$$

(При аналогичном рассмотрении полуплоскости считаем $U_k^{(j,1)} \equiv 0$).

Здесь слагаемые $U_k^{(j,n)}(x, y), n = 1, 2$ данного представления являются решениями уравнений Ляме для однородной полуплоскости с удовлетворением граничных условий:

$$\sigma_x = \mathbf{t}^{(j,1)}(0, y) = \mu_j \mathbf{X}^{(j,1)}(y), \quad \tau_{xy} = \mathbf{t}^{(j,2)}(h_j, y) = \mu_j \mathbf{X}^{(j,2)}(y).$$

Вектор перемещений $\mathbf{U}^{(j,1)}(x, y)$ представим в виде интеграла Фурье через трансформанты вектора напряжений $\mathbf{X}^{(j,1)}(y)$:

$$\mathbf{U}^{(j,1)}(x, y) = \frac{1}{2\pi} \int_{\Gamma} \mathbf{P}^{(j,1)}(x, \alpha) \cdot \tilde{\mathbf{X}}^{(j,1)}(\alpha) e^{-i\alpha y} d\alpha. \quad (1)$$

Контур Γ определен принципом предельного поглощения: обходит положительные полюса подынтегральной функции снизу, отрицательные - сверху, а на остальной части совпадает с вещественной осью. Элементы матрицы $\mathbf{P}^{(j,1)}$ имеют вид:

$$P_{11}^{(j,1)}(x, \alpha) = \frac{\sigma_{j1}}{\Delta_R} \left\{ -\zeta_j^2 e_{j1} + 2\alpha^2 e_{j2} \right\}, \quad P_{12}^{(j,1)}(x, \alpha) = \frac{i\alpha}{\Delta_R} \left\{ -2\sigma_{j1}\sigma_{j2} e_{j1} + \zeta_j^2 e_{j2} \right\},$$

$$P_{21}^{(j,1)}(x, \alpha) = \frac{i\alpha}{\Delta_R} \left\{ -\zeta_j^2 e_{j1} + 2\sigma_{j1}\sigma_{j2} e_{j2} \right\}, \quad P_{22}^{(j,1)}(x, \alpha) = \frac{\sigma_{j2}}{\Delta_R} \left\{ 2\alpha^2 e_{j1} - \zeta_j^2 e_{j2} \right\},$$

$$\Delta_R = -4\alpha^2 \sigma_{j1}\sigma_{j2} + \zeta_j^4, \quad e_{jk} = e^{-\sigma_{jk}x},$$

$$\zeta_j^2 = \alpha^2 + \sigma_{j2}^2; \quad \sigma_{jk}^2 = \alpha^2 - \theta_{jk}^2; \quad \theta_{j1} = \frac{\omega}{V_{pj}}; \quad \theta_{j2} = \frac{\omega}{V_{sj}},$$

V_{pj}, V_{sj} - скорости распространения волн в соответствующей среде.

Аналогично формуле (1) определяются перемещения для полуплоскости $x \leq h_j$ через функции $\tilde{\mathbf{X}}^{(j,2)}(\alpha)$, где для элементов $P_{nm}^{(j,2)}(x, \alpha)$ справедливы соотношения:

$$P_{nm}^{(j,2)}(x, \alpha) = (-1)^{\delta_{nm}} P_{nm}^{(j,1)}(h_j - x, \alpha), \quad n, m = 1, 2, \quad \delta_{nm} - \text{символ Кронекера.}$$

Определяя напряженное состояние слоя в виде суммы соответствующих решений для двух полуплоскостей, получим:

$$\text{col}\{\sigma_x, \tau_{xy}\}^{(j,1)}(x, y) = \frac{1}{2\pi} \int_{\Gamma} \mathbf{W}^{(j,1)}(x, \alpha) \cdot \tilde{\mathbf{X}}^{(j,1)}(\alpha) e^{-i\alpha y} d\alpha, \quad (2)$$

где

$$W_{11}^{(j,1)}(x, \alpha) = \frac{1}{\Delta_R} \left\{ \zeta_j^4 e_{j1} - 4\sigma_{j1}\sigma_{j2}\alpha^2 e_{j2} \right\}, \quad W_{12}^{(j,1)}(x, \alpha) = \frac{2i\alpha\sigma_{j2}\zeta_j^2}{\Delta_R} \left\{ e_{j1} - e_{j2} \right\},$$

$$W_{21}^{(j,1)}(x, \alpha) = \frac{2i\alpha\sigma_{j1}\zeta_j^2}{\Delta_R} \left\{ e_{j1} - e_{j2} \right\}, \quad W_{22}^{(j,1)}(x, \alpha) = \frac{1}{\Delta_R} \left\{ -4\sigma_{j1}\sigma_{j2}\alpha^2 e_{j1} + \zeta_j^4 e_{j2} \right\}.$$

Для второй группы слагаемых найдем:

$$W_{nm}^{(j,2)}(x, \alpha) = (-1)^{\delta_{nm}+1} W_{nm}^{(j,1)}(h_j - x, \alpha).$$

Соответственно функции $U_k^{(j,3)}$ определяют перемещения в однородной плоскости с параметрами рассматриваемого слоя от действия сосредоточенного источника колебаний $\mathbf{P}(\mathbf{r}_0) = \{p_1(x_0, y_0), p_2(x_0, y_0)\}$ в виде набора цилиндрических волн [2] и соответствуют компонентам матрицы $\mathbf{U}^*(\mathbf{r}_0, \mathbf{r})$:

$$U_k^{(j,3)}(x_0, y_0, x, y) = \sum_{l=1}^2 U_{kl}^{(j,3)}(x_0, y_0, x, y) p_l(x_0, y_0); \quad k = 1, 2.$$

С помощью формул переразложения [3] они могут быть записаны в преобразованном по Фурье виде:

$$\tilde{U}_{kl}^{(j,3)}(x_0, y_0, x, \alpha) = F_y[U_{kl}^{(j,3)}] = \int_{-\infty}^{+\infty} U_{kl}^{(j,3)}(x_0, y_0, x, y) \exp(i\alpha y) dx$$

$$U_{kl}^{(j,3)}(x_0, y_0, x, y) = F_\alpha^{-1}[\tilde{U}_{kl}^{(j,3)}] = \frac{1}{2\pi} \int_{\Gamma} \tilde{U}_{kl}^{(j,3)}(x_0, y_0, x, \alpha) \exp(-i\alpha y) dx$$

где

$$\begin{aligned} \tilde{U}_{11}^{(j,3)}(x_0, y_0, x, \alpha) &= A_j [-\sigma_{j1} E_{j1} + \alpha^2 E_{j2} / \sigma_{j2}], \\ \tilde{U}_{12}^{(j,3)}(x_0, y_0, x, \alpha) &= \tilde{U}_{21}^{(j,3)}(x_0, y_0, x, \alpha) = i\alpha A_j [E_{j1} - E_{j2}] \text{sign}(x - x_0), \\ \tilde{U}_{22}^{(j,3)}(x_0, y_0, x, \alpha) &= A_j [-\sigma_{j2} E_{j2} + \alpha^2 E_{j1} / \sigma_{j1}], \\ E_{jk} &= \exp(-\sigma_{jk} |x_0 - x|), \quad k=1,2; \quad A_j = \frac{\exp(i\alpha y_0)}{2\theta_{j2}^2}. \end{aligned}$$

Аналогично для фундаментальных решений по напряжениям получим:

$$T_{kn}^{(j,3)}(x_0, y_0, x, y) = \sum_{l=1}^2 T_{lkn}^{(j,3)}(x_0, y_0, x, y) p_l(x_0, y_0); \quad k, n=1,2.$$

Или в преобразованиях Фурье:

$$\begin{aligned} \tilde{T}_{111}^{(j,3)}(x_0, y_0, x, \alpha) &= A_j [\zeta_j^2 E_{j1} - 2\alpha^2 E_{j2}] \text{sign}(x - x_0), \\ \tilde{T}_{211}^{(j,3)}(x_0, y_0, x, \alpha) &= \frac{i\alpha A_j}{\sigma_{j1}} [\zeta_j^2 E_{j1} - 2\sigma_{j1} \sigma_{j2} E_{j2}], \\ \tilde{T}_{112}^{(j,3)}(x_0, y_0, x, \alpha) &= \frac{i\alpha A_j}{\sigma_{j2}} [2\sigma_{j1} \sigma_{j2} E_{j1} - \zeta_j^2 E_{j2}], \\ \tilde{T}_{212}^{(j,3)}(x_0, y_0, x, \alpha) &= A_j [-2\alpha^2 E_{j1} + \zeta_j^2 E_{j2}] \text{sign}(x - x_0), \\ \tilde{T}_{122}^{(j,3)}(x_0, y_0, x, \alpha) &= A_j [-\eta_j^2 E_{j1} + 2\alpha^2 E_{j2}] \text{sign}(x - x_0), \\ \eta_j^2 &= 2\alpha^2 + \frac{\lambda_j}{\mu_j} \theta_{j1}^2, \end{aligned}$$

$$\tilde{T}_{222}^{(j,3)}(x_0, y_0, x, \alpha) = \frac{i\alpha A_j}{\sigma_{j1}} \left[-\zeta_j^2 E_{j1} + \sigma_{j2} \left(2 - \frac{\theta_{j2}^2}{\theta_{j1}^2} \left(1 - \frac{\sigma_{j2}}{\sigma_{j1}} \right) \right) E_{j2} \right].$$

Введенные трансформанты Фурье функций напряжений $\tilde{\mathbf{X}}^{(j,k)}(\alpha)$ представлений (1), (2) являются неизвестными и должны быть определены из условий стыковки разнородных составляющих слоистой полуплоскости между собой. Удовлетворяя равенствам компонент векторов перемещений и напряжений при переходе через границы раздела сред в преобразованиях Фурье, получим систему линейных алгебраических уравнений с $4N + 2$ неизвестными:

$$\mathbf{A}(\alpha) \cdot \tilde{\mathbf{X}}(\alpha) = \mathbf{B}(\alpha),$$

где $\tilde{\mathbf{X}}(\alpha)$ - общий вектор неизвестных напряжений для многослойной структуры.

Полученные таким образом фундаментальные решения обладают важным свойством отсутствия напряжений на дневной поверхности $x = x_N$.

3. Анализ численных результатов

В качестве иллюстрации характера поведения построенных фундаментальных решений исследованы зависимости компонент вектора перемещений и тензора напряжений от положения источника, точки наблюдения и свойств слоев полуплоскости.

На рис. 2 показано поведение нормальных вертикальных напряжений σ_x в зависимости от положения источника колебаний в фиксированной точки наблюдения (с координатами $(-5; 0,5)$). Положение источника определяется выражением $x_0 \in [-15,10]$, $y_0 = 0$. По анализу графика видно, что в точке наблюдения развиваются интенсивные колебания, при положении источника внутри слоя пониженной жесткости, имеющие немонотонный характер. Максимальное значение данных напряжений превышает уровень напряжений при возбуждении среды с поверхности более чем в 10 раз.

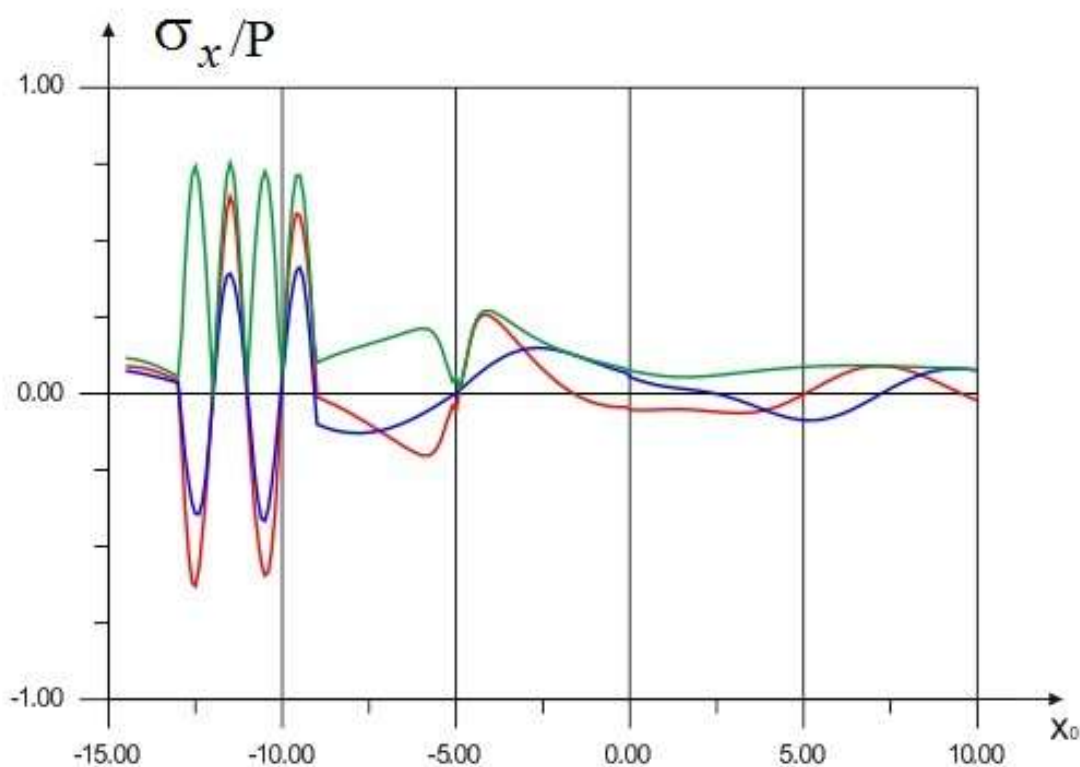


Рис. 2

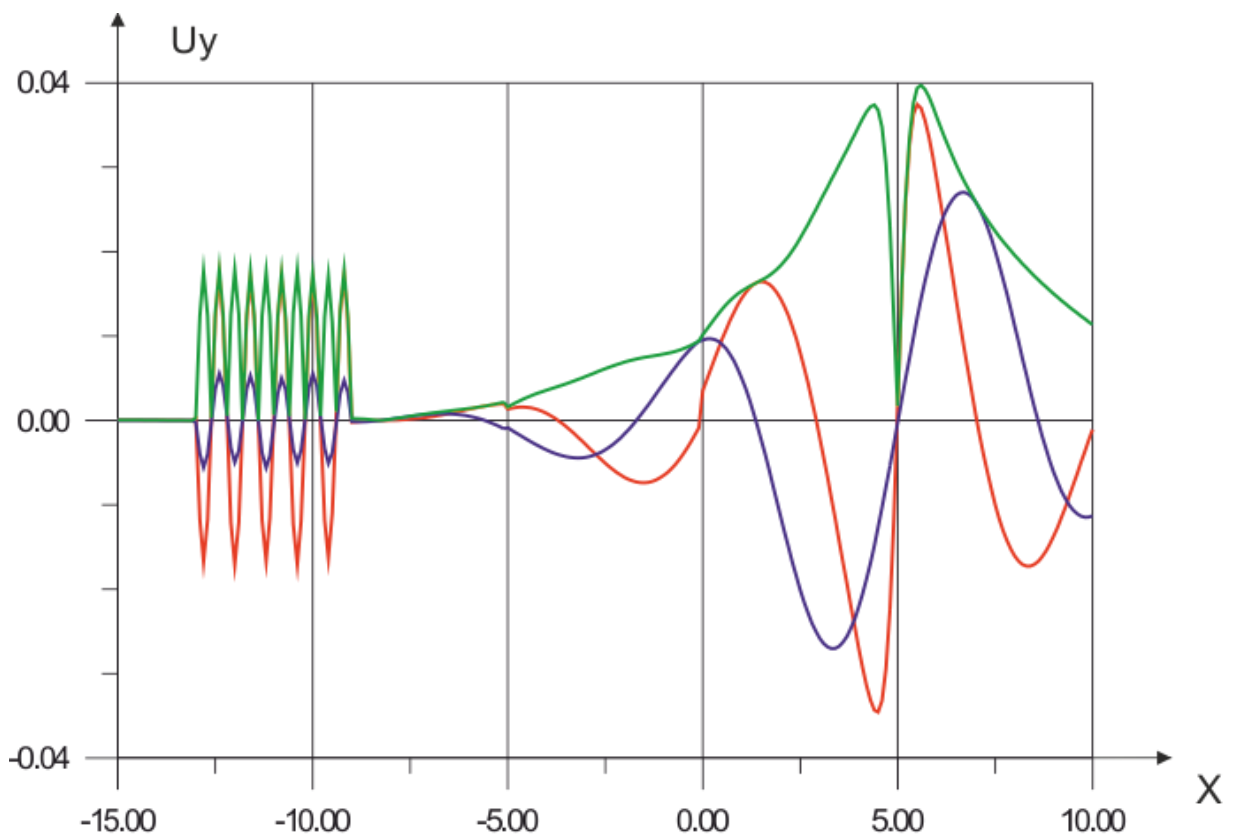


Рис. 3

На рис. 3 представлены горизонтальные перемещения U_y , в случае возбуждения среды внутренним источником колебаний, расположенном на глубине $x_0=5$ в полуплоскости. При движении точки наблюдения от поверхности среды $x = -15$ в глубь $x=10$. Мягкая прослойка, положение которой определяется диапазоном $x \in [-13, -9]$ приводит к экранированию горизонтальных смещений выше нее. В самой же прослойке наблюдаются осциллирующие на глубине колебания, соизмеримые с колебаниями вблизи источника, которые имеют более плавный характер, по отношению к точке наблюдения.

Имеющие общие закономерности, особенности поведения напряжения состояния среды, наблюдается так же в случае наличия более жесткой прослойки, а также в сочетании жесткая - мягкая прослойка. Таким образом, структура слоистой конструкции существ образом влияет на характер волновых полей, генерируемых внутренним источником колебанием, при наблюдении, как на поверхности области, так и внутри нее.

ЛИТЕРАТУРА

1. Новацкий В. Теория упругости. М.: Мир, 1975. –872 с.
2. Бенерджи П., Баттерфилд Р. Методы граничных элементов в прикладных науках. - М.: Мир, 1984.
3. Морс Ф.М., Фешбах Г. Методы теоретической физики.
-Т.1. М.: Изд-во иностр. лит., 1958. –930 с.,
-Т.2. М.: Изд-во иностр. лит., 1960. –886 с.